

# ИСПОЛЬЗОВАНИЕ ПАКЕТА SCILAB ПРИ РАСЧЕТЕ ПЕРЕХОДНЫХ ПРОЦЕССОВ В ЛЭЦ ОПЕРАТОРНЫМ МЕТОДОМ

А.Ф. Шиян

13.06.2014

Если электрическая цепь содержит один или несколько накопителей энергии (катушек или конденсаторов), то в переходных режимах работы такой цепи токи ветвей и напряжения, действующие на участках, изменяются во времени. Математическая модель такой цепи, составленная для мгновенных значений токов и напряжений, носит интегрально-дифференциальный характер, поскольку напряжения на накопителях:

$$u_L = L \frac{di}{dt}, \quad u_C = \frac{1}{C} \int i dt.$$

Решение систем интегрально-дифференциальных уравнений, как правило, задача трудоемкая. Алгебраизовать математические модели электрических цепей, работающих в переходном режиме, позволяет операторный метод. Суть операторного метода состоит в переходе от оригиналов токов и напряжений, являющихся функциями времени, к их операторным изображениям по Лапласу, Карсону-Хевисайду или Фурье. Операторные изображения являются алгебраическими функциями комплексной переменной  $p$ . Поэтому переход от математической модели-оригинала к операторной модели-изображению достаточно широко используется на практике.

Свободно распространяемый программный пакет компьютерной математики Scilab, предназначенный для выполнения инженерных и научных вычислений обеспечивает широкие возможности для обработки операторных математических моделей электрических цепей. Несмотря на то, что Scilab не имеет специальных функций для обратного преобразования Лапласа, он способен в значительной мере облегчить пользователю процесс вычисления оригиналов от операторных изображений искомых функций.

В данной работе мы проиллюстрируем возможности применения пакета Scilab для расчета переходного процесса операторным методом.

В качестве примера операторным методом исследуем ток в ветви с конденсатором, во время переходного процесса, возникающего в ЛЭЦ постоянного тока при замыкании ключа SA.

**Схема цепи** приведена на рис. 1. **Параметры ее элементов:**  $E_s = 200$  В,  $R_1 = 10$  Ом;  $R_2 = 40$  Ом;  $R_3 = 40$  Ом;  $R_4 = 10$  Ом;  $L = 0,4$  Гн;  $C = 30$  мкФ.

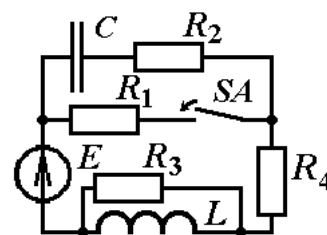


Рис. 1

Для получения операторной схемы замещения цепи необходимо рассчитать начальные условия: токи и напряжения для катушки и конденсатора непосредственно в момент коммутации ключа (момент времени  $t = 0$ ).

**Расчетная схема замещения цепи для момента времени «непосредственно перед коммутацией» ( $t = 0_-$ ).** В этот момент времени цепь работает в установившемся режиме. Конденсатор уже полностью заряжен, поэтому ток через него не течет.

На рис. 2 показана расчетная схема замещения цепи для момента времени  $t = 0_-$ . На ней конденсатор представлен разрывом участка, ключ разомкнут, катушка заменена перемычкой (напряжение на идеальной катушке

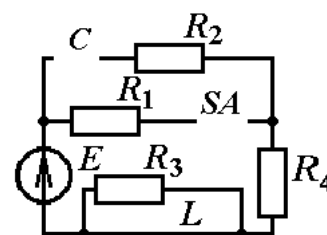


Рис. 2

$u_L = L \frac{di}{dt} = 0$ , поскольку в установившемся режиме работы цепи постоянного тока, скорость изменения тока равна нулю).

Токи в ветвях полученной схемы замещения этой цепи не текут – анод источника подключен всего к двум параллельным ветвям с сопротивлениями  $R_1$  и  $R_2$  и обе эти ветви разорваны. Т.о.  $i_L(0_-) = 0$ ,  $i_C(0_-) = 0$ .

К каждому из этих разрывов приложено напряжение источника 200 В. Следовательно,  $u_C(0_-) = 200$  В.

**Начальные условия:** токи и напряжения для катушки и конденсатора в момент коммутации ключа (момент времени  $t = 0$ ) определим с помощью законов коммутации.

Из первого закона коммутации следует: ток в катушке не может изменяться скачком, поэтому его значение в момент времени «непосредственно после коммутации» ( $t = 0_+$ ) равно значению в момент времени «непосредственно перед коммутацией» ( $t = 0_-$ )

$$i_L(0) = i_L(0_+) = i_L(0_-) = 0.$$

Из второго закона коммутации следует: напряжение на конденсаторе не может изменяться скачком, поэтому его значение в момент времени «непосредственно после коммутации» ( $t = 0_+$ ) равно значению в момент времени «непосредственно перед коммутацией» ( $t = 0_-$ )

$$u_C(0) = u_C(0_+) = u_C(0_-) = 200 \text{ В.}$$

**Операторная расчетная схема замещения цепи** строится для послекоммутационной цепи, рис. 3. На этой схеме источник ЭДС представлен операторной схемой

$$E(p) = \frac{E}{p} = \frac{200}{p};$$

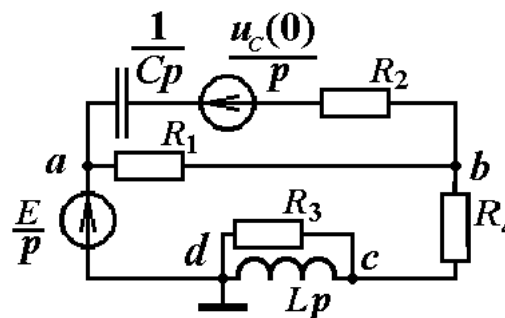


Рис. 3

Операторная схема замещения конденсатора состоит из емкостного операторного сопротивления  $1/Cp$  и операторного источника ЭДС

$$E_C(p) = \frac{u_C(0)}{p} = \frac{200}{p}.$$

Операторная схема замещения катушки состоит лишь индуктивного операторного сопротивления  $Lp$  (операторного источника ЭДС нет, поскольку  $Li_L(0) = 0$ ).

Рассчитаем цепь методом контурных токов. Выберем систему контурных токов, рис. 4.

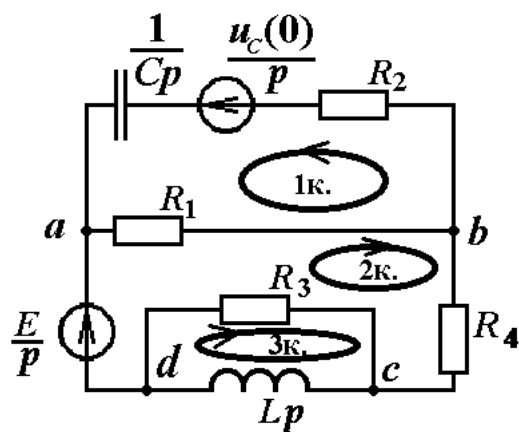


Рис. 4

В нашей модели операторный ток первого контура равен операторному току конденсатора, операторный ток третьего контура равен операторному току катушки/

Распишем коэффициенты матрицы контурных сопротивлений.

Коэффициенты главной диагонали:

$$Z_{11}(p) = R_1 + R_2 + 1/Cp;$$

$$Z_{22}(p) = R_1 + R_3 + R_4;$$

$$Z_{33}(p) = R_3 + Lp;$$

Коэффициенты вне главной диагонали:

$$Z_{12}(p) = R_1; \quad Z_{21}(p) = R_1;$$

$$Z_{13}(p) = 0; \quad Z_{31}(p) = 0;$$

$$Z_{23}(p) = -R_3; \quad Z_{32}(p) = -R_3;$$

Коэффициенты матрицы контурных ЭДС

$$E_{11} = u_c(0)/p; \quad E_{22} = E/p; \quad E_{33} = 0;$$

Рассчитаем операторные изображения контурных токов средствами программы Scilab. Для этого откроем блокнот, интегрированный в пакет Scilab, и введем в файл сценария исходные данные:

$$E=200; R1=10; R2=40; R3=40; R4=10;$$

$$L=0.4; C=30/1000000; uCo=200; iLo=0;$$

Прежде чем вводить операторные изображения функций, командой

$$p = \text{poly}(0, 'p');$$

объявляем переменную **p** аргументом полинома. После этого вводим:

- операторные изображения коэффициентов матрицы контурных сопротивлений

$$\begin{aligned} Z_{11} &= R_1 + R_2 + 1/(C*p); & Z_{22} &= R_1 + R_3 + R_4; & Z_{33} &= R_3 + L*p; \\ Z_{12} &= R_1; & Z_{21} &= R_1; & Z_{13} &= 0; & Z_{31} &= 0; & Z_{23} &= -R_3; & Z_{32} &= -R_3; \end{aligned}$$

- матрицу операторных изображений контурных сопротивлений

$$Z_{00} = [Z_{11} \ Z_{12} \ Z_{13}; \ Z_{21} \ Z_{22} \ Z_{23}; \ Z_{31} \ Z_{32} \ Z_{33}];$$

- операторные изображения коэффициентов матрицы контурных ЭДС

$$E_{11} = uC_0/p; \quad E_{22} = E/p; \quad E_{33} = 0;$$

- матрицу операторных изображений контурных ЭДС

$$E_k = [E_{11}; E_{22}; E_{33}];$$

- команду для вычисления матрицы операторных изображений контурных токов

$$I_{kt} = Z_{00} \setminus E_k$$

- команду для присвоения переменной с именем **IcP** операторного выражения первого коэффициента матрицы операторных изображений контурных токов. Первый контурный ток равен искомому операторному току конденсатора

$$IcP = I_{kt}(1,1)$$

- команду для присвоения переменной с именем **iC1** операторного выражения полинома, стоящего в числителе операторного тока конденсатора

$$iC1 = \text{numer}(IcP);$$

- команду для присвоения переменной с именем **iC2** операторного выражения полинома, стоящего в знаменателе операторного тока конденсатора

**iC2=denom(IcP);**

- команду для вычисления корней знаменателя

**P00=roots(iC2),**

- команду для присвоения переменной с именем **Nn** числового значения количества корней знаменателя

**Nn=size(P00,'r')**

- команду для вычисления производной от знаменателя

**iC3=derivat(iC2);**

- команду для присвоения переменной с именем **iC1o** матрицы числовых коэффициентов полинома числителя

**iC1o=coeff(iC1),**

- команду для присвоения переменной с именем **iC2o** матрицы числовых коэффициентов полинома производной знаменателя

**iC2o=coeff(iC3);**

- команду для присвоения переменной с именем **k** матрицы из **Nn** числовых значений с шагом равным **1** (**Nn** – число корней знаменателя). В нашем случае полином знаменателя имеет третью степень, следовательно, **Nn = 3**. Причем третий корень получился равным нулю

**k=[1:1:Nn];**

- команду для присвоения переменной с именем **iCt\_1** числового значения коэффициента перед первой экспонентой оригинала тока конденсатора, рассчитанного по методу Хевисайда

**iCt\_1=sum(iC1o(k).\*(P00(1))^(k-1))/sum(iC2o(k).\*(P00(1))^(k-1))**

- команду для присвоения переменной с именем **iCt\_2** числового значения коэффициента перед второй экспонентой оригинала тока конденсатора

$$\mathbf{iCt\_2 = \sum(iC2o(k) \cdot (P00(2))^{(k-1)}) / \sum(iC2o(k) \cdot (P00(2))^{(k-1)})}$$

- команду для присвоения переменной с именем **iCt\_3** числового значения коэффициента перед третьей экспонентой оригинала тока конденсатора

$$\mathbf{iCt\_3 = \sum(iC1o(k) \cdot (P00(3))^{(k-1)}) / \sum(iC2o(k) \cdot (P00(3))^{(k-1)})}$$

- команду для присвоения переменной с именем **t** матрицы числовых значений исследуемого диапазона времени от 0 до 0,1 секунды, с шагом 0,001 секунды

$$\mathbf{t = [0:0.001:0.1];}$$

- команду для присвоения переменной с именем **ioC** матрицы числовых значений исследуемого тока конденсатора. В это уравнение мы не включили третью экспоненту по двум причинам: ее показатель степени (третий корень знаменателя) равен нулю; коэффициент перед третьей экспонентой близок к нулю (его числовое значение равно  $-4,068 \cdot 10^{-14}$  А)

$$\mathbf{ioC = iCt\_1 * \%e^{(P00(1)*t)} + iCt\_2 * \%e^{(P00(2)*t)};}$$

- команду для вывода графика тока конденсатора в графическое окно

$$\mathbf{plot(t,ioC,'b');xgrid();}$$

После запуска файла-сценария с этим программным на исполнение, в графическом окне, см. рис. 5, получили график тока конденсатора во время переходного процесса, вызванного коммутацией ключа.

В командном окне были выведены числовые результаты всех команд программного кода, не закрытых символом «;».

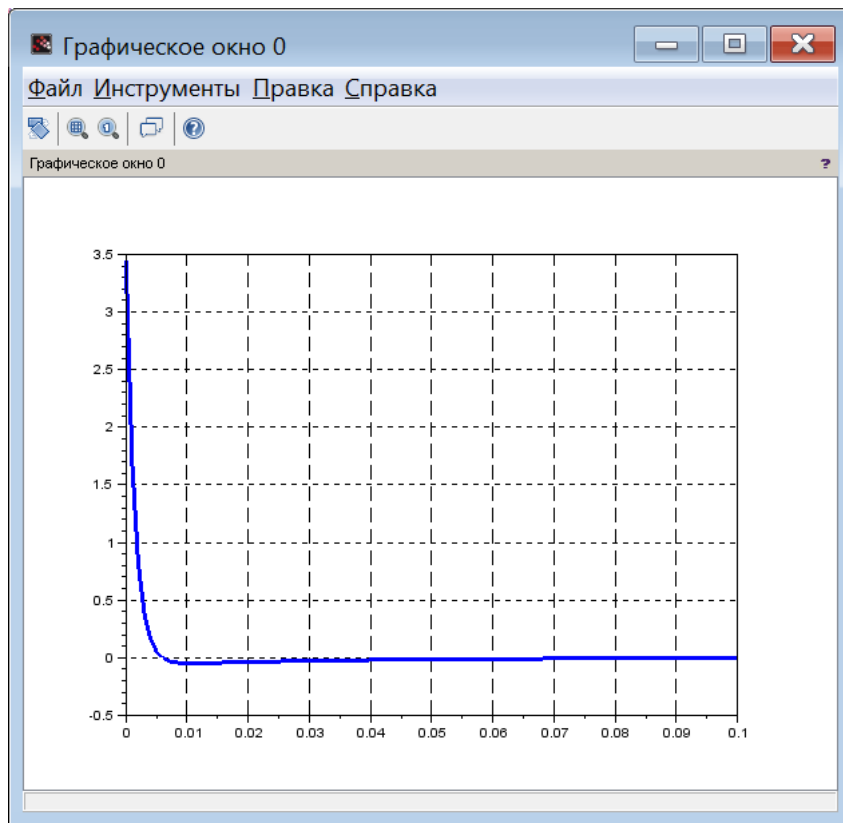


Рис. 5

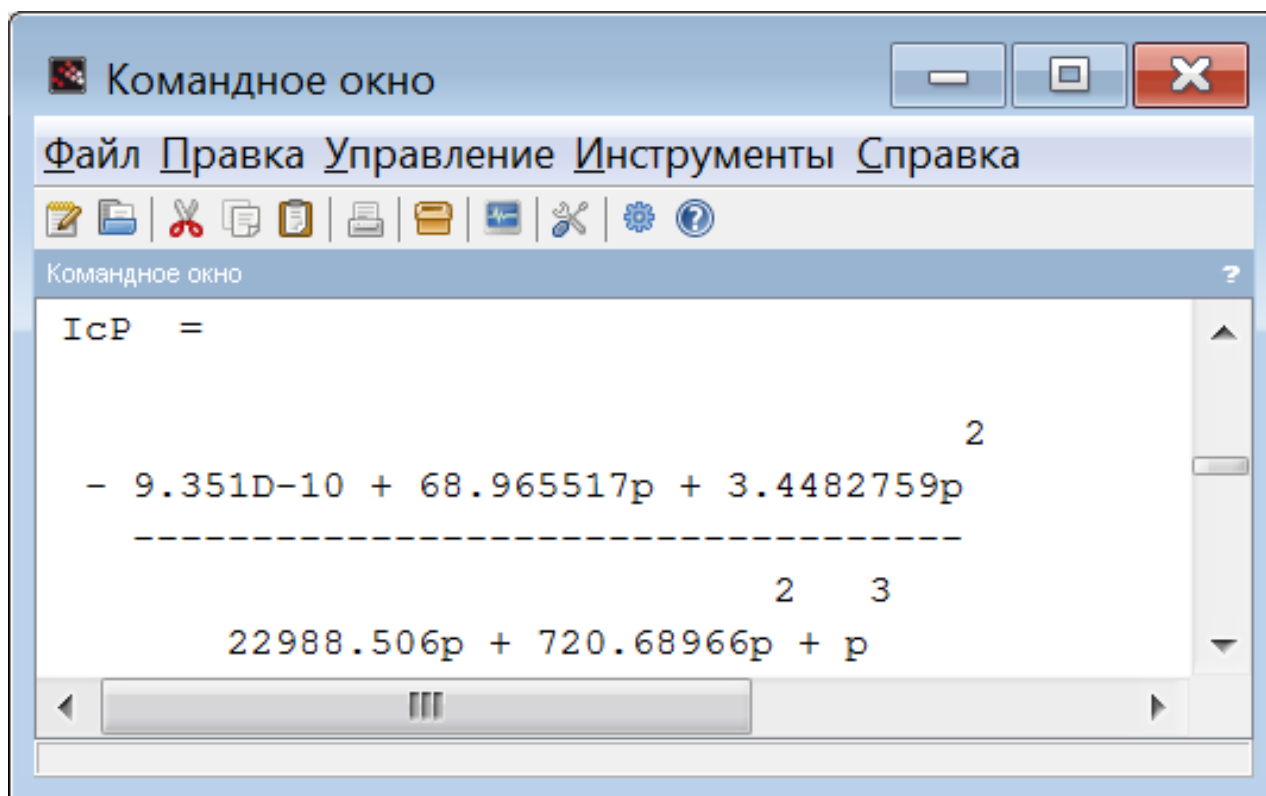
Среди этих данных:

- матрица операторных изображений контурных токов

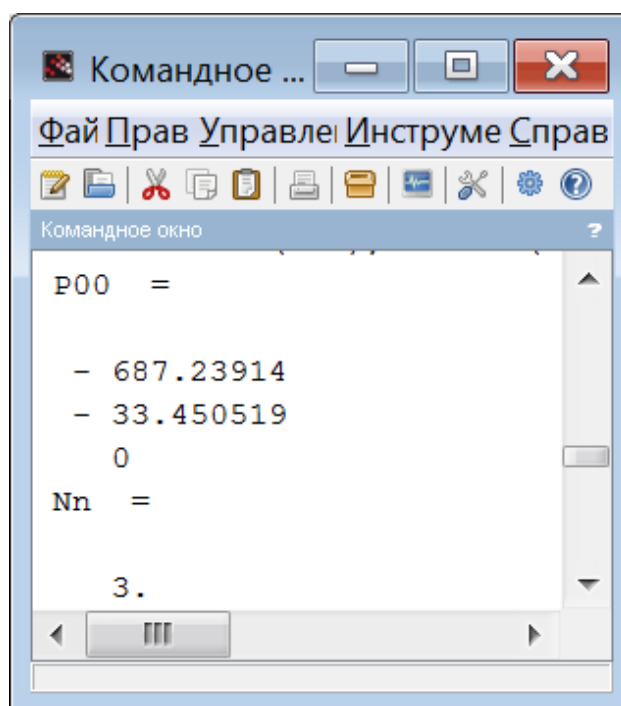
$$\begin{aligned}
 I_{kt} &= \\
 &= \frac{-9.351D-10 + 68.965517p + 3.4482759p^2}{22988.506p^2 + 720.68966p^3} \\
 &= \frac{229885.06 + 2574.7126p + 2.7586207p^2}{22988.506p^2 + 720.68966p^3} \\
 &= \frac{229885.06 + 275.86207p}{22988.506p^2 + 720.68966p^3}
 \end{aligned}$$



- Операторное изображение тока конденсатора

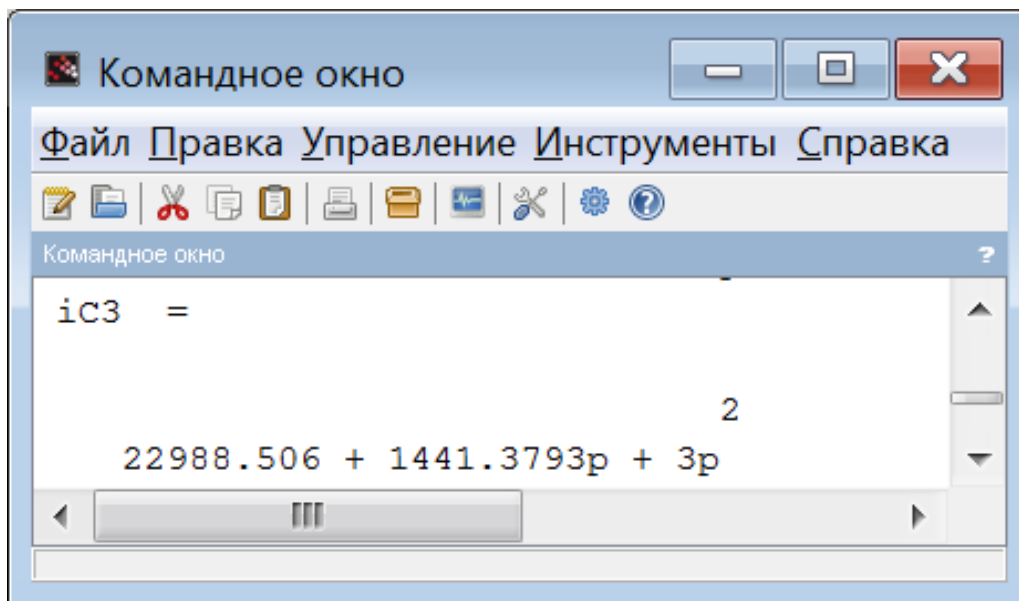


- Корни знаменателя

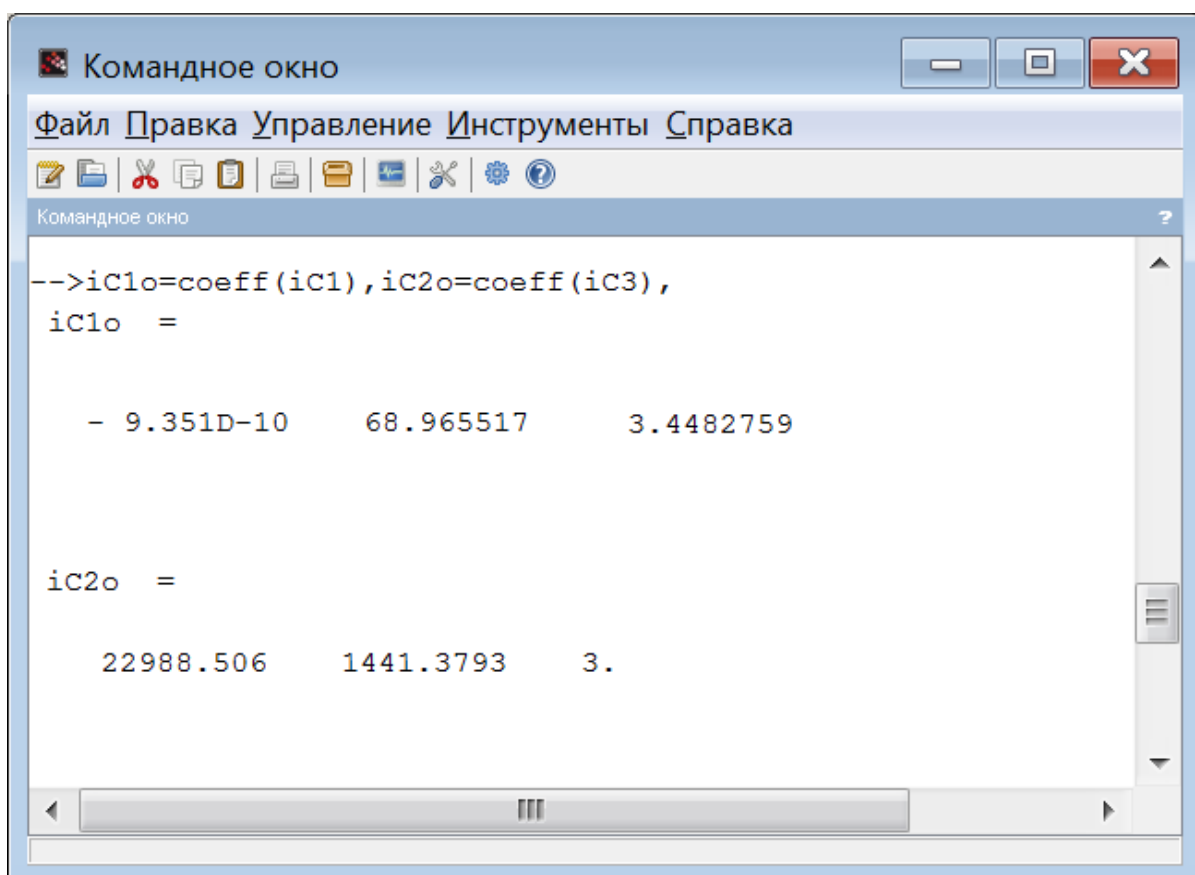


$$p_1 = -687.23914 \text{ c}^{-1}; \quad p_2 = -33.450519 \text{ c}^{-1}; \quad p_3 = 0 \text{ c}^{-1};$$

- Производная знаменателя



- Коэффициенты полиномов числителя и производной знаменателя



- Коэффициенты перед экспонентами тока переходного процесса

```

Командное окно
Файл Правк Управлени Инструмент Справка
Командное окно
iCt_1 =
3.5192179
-->iCt_2=sum(iC1o(k) .* (P00(2)) ^ (k);
iCt_2 =
- 0.0709420
-->iCt_3=sum(iC1o(k) .* (P00(3)) ^ (k);
iCt_3 =
- 4.068D-14
-->t=[0:0.001:0.1];

```

$$i_{Ct\_1} = 3,5192179 \text{ A};$$

$$i_{Ct\_2} = 0,070942 \text{ A};$$

$$i_{Ct\_3} = - 4,068 \times 10^{-14} \approx 0 \text{ A}.$$

Используя эти значения, запишем аналитическое выражение оригинала тока конденсатора

$$i_C(t) = 3,5192179 e^{-687.23914t} + 0,070942 e^{-33.450519t}$$

Модернизируя предлагаемый Scilab-код, можно рассчитывать переходные процессы в ЛЭЦ любой сложности.